



Статья

# Устойчивые и устойчивые структуры с помощью SHM на основе EMI Оценка инновационной веревки из C-FRP Техника усиления

Никос А. Пападопулос \*, Мария К. Наум

🗓, Джордж М. Сапидис и Константин Э. Чалиорис



Лаборатория железобетона и сейсмического проектирования конструкций, Факультет гражданского строительства, Инженерная школа, Фракийский университет Демокрита, 67100 Ксанти, Греция; mnaoum@civil.duth.gr (MCN); gsapidis@civil.duth.gr (GMS); chaliori@civil.duth.gr (ЦИК) \* Переписка: nikpapad@civil.duth.gr

Аннотация: Железобетонные элементы (RC) в существующих железобетонных конструкциях подвержены критическому сдвигу из-за их недостаточно армированной конструкции. Таким образом, внедрение метода модернизации имеет важное значение для устранения потерь, которые могут возникнуть в результате внезапных и катастрофических обрушений из-за хрупкости этих элементов. Среди других предложенных методов использование канатов из полимеров, армированных углеродным волокном (С-FRP) для увеличения прочности на сдвиг железобетонных конструкционных элементов оказалось многообещающим применением армирования. Кроме того, для оценки эффективности схемы упрочнения был использован метод электромеханического импеданса (на основе EMI) с использованием цирконататитаната свинца (с поддержкой PZT) . Первоначально предложенная технология была применена к веревке из C-FRP при испытании на выдергивание . Таким образом, корреляция прочности каната на разрыв с реакцией на электромагнитные помехи накладки РZТ была достигнута с использованием метрического индекса среднеквадратического отклонения (RMSD). После этого метод был применен к экспериментально полученным данным о веревках из C-FRP, используемых в качестве армирования на сдвиг в прямоугольной глубокой балке. Тросы были установлены по схеме «Закладная с Кроме того, была предпринята попытка оценить остаточную несущую способность на сдвиг на основе реакций электромагнитных помех, полученных при встраивании и прикреплении к канатам РZT, что продемонстрировало многообещающие результаты и хорошую точность по сравнению с аналитическим прогнозом для канатов из C-FRP. вклад в сопротивление сдвигу.

Ключевые слова: структурный мониторинг работоспособности (СМГ); электромеханический импеданс (ЭМИ); пьезоэлектрический преобразователь (ПЦТ); веревка C-FRP; техника модернизации сдвига; вытаскивать



Цитирование: Пападопулос, Н.А.; Наум,

MC; Сапидис, генеральный директор; Халиорис, СЕ Устойчивый и

Устойчивые структуры посредством Оценка SHM на основе EMI

Инновационный метод укрепления веревки C-FRP. Прил. Mex. 2024, 5, 405-419. https://doi.org/10.3390/ applmech5030024

Поступила: 28 апреля 2024 г. Пересмотрено: 30 мая 2024 г.

Принято: 5 июня 2024 г.

Опубликовано: 21 июня 2024 г.



Копирайт: © 2024 авторов. Лицензиат MDPI, Базель, Швейцария.

Эта статья находится в открытом доступе. распространяется на условиях и условия Creative Commons

Лицензия с указанием авторства (СС BY) ( https://creativecommons.org/licenses/by/ 4.0/).

# 1. Введение

Значительная часть железобетонных (RC) элементов в существующих железобетонных конструкциях часто страдает от недостаточного усиления против сдвига, в первую очередь из-за устаревших и неадекватных проектных положений. Эти элементы уязвимы для критического растрескивания при сдвиге, что создает риск хрупких разрушений из-за их недостаточной прочности и способности к деформации [1,2]. В результате внедрение методов модернизации для повышения несущей способности на сдвиг становится обязательным для смягчения потенциальных жертв, возникающих в результате внезапных и катастрофических обрушений этих хрупких элементов RC [3,4].

Среди множества доступных методов модернизации железобетонная оболочка является популярным выбором для устранения недостатков железобетонных элементов в существующих структурных узлах [5,6]. Многочисленные исследования подчеркнули преимущества традиционной RC-оболочки в увеличении несущей способности [7], жесткости и общей эффективности реакции конструкции [8,9].

Однако, несмотря на свою эффективность, обычная оболочка RC имеет ограничения. Такие проблемы , как изменение структурных динамических характеристик в результате значительного увеличения массы и жесткости, а также трудоемкость процесса, побудили исследователей изучить альтернативные методы модернизации с использованием альтернативных материалов. Это стремление к инновациям направлено на преодоление недостатков, связанных с традиционными технологиями.

Оболочка RC, при этом эффективно улучшая структурную целостность и производительность существующих элементов RC [10–12].

Еще одной уязвимостью железобетонных конструкций, возведенных в соответствии с устаревшими правилами, является их восприимчивость к морфологическим проблемам, возникающим из-за недостаточной осведомленности о сейсмическом проектировании [13]. Строительство коротких конструктивных элементов создает риски для сейсмической реакции конструкции . Короткие элементы, такие как короткие колонны и глубокие балки, склонны к хрупкому разрушению, тем самым уменьшая их вклад в общую пластичность конструкции [ 14]. Глубокие балки, в основном, являются критически важными структурными элементами в железобетонных конструкциях из-за их сильного сдвига [15].

В общем, разрушение железобетонных конструкций при сдвиге может привести к внезапному и неожиданному обрушению секций или даже всей конструкции, тем самым ставя под угрозу целостность и безопасность находящихся в ней людей [16]. Эти структурные недостатки подчеркивают острую необходимость модернизации и усиления мер по повышению сейсмической устойчивости существующих железобетонных конструкций и смягчению связанных с этим рисков. связанных с разрушениями, вызванными сдвигом.

Балка классифицируется как глубокая или короткая в зависимости от ее коэффициента сдвига, который определяется с помощью уравнения (1). В частности, если коэффициент сдвига, рассчитанный по уравнению (1), падает ниже 2,5, балка классифицируется как глубокая. Эта классификация имеет решающее значение в проектировании конструкций, поскольку она помогает идентифицировать балки с характерным поведением на сдвиг, дает информацию при проектировании и стратегиях модернизации для обеспечения структурной целостности и безопасности.

$$\alpha s = \frac{\alpha V}{A} = \frac{M}{B A} \qquad 2.5$$
 (1)

406

где αν представляет собой сдвиговый пролет элемента, d означает статическую высоту, а M и V обозначают величины изгибающего момента и силы сдвига поперечного сечения соответственно.

Согласно принципу Сен-Венана, приложение внешней нагрузки вызывает возмущенные области внутри глубоких балок, в которых опоры перекрываются, тем самым сводя на нет области, в которых принцип Бернулли применим к балке при изгибе. Следовательно, анализ глубоких балок требует применения методов моделирования стоек и стяжек, при которых бетон берет на себя ответственность за передачу сжимающих усилий, а продольное армирование отвечает за растягивающие силы.

Механическая реакция глубоких балок находится под сильным влиянием их геометрических свойств, условий нагрузки и наличия поперечной арматуры. В железобетонных конструкциях глубокие балки создают острую необходимость в укреплении из-за их ограниченной пластичности и недостаточного обеспечения поперечной арматуры.

Невозможность масштабного восстановления существующей инфраструктуры и сооружений стимулировала разработку новых методологий мониторинга и укрепления. Эти инновационные подходы направлены на устранение недостатков существующих железобетонных конструкций, одновременно повышая их устойчивость и долговечность перед лицом динамических нагрузок и экологических проблем.

## 2. Предлагаемые инновации и цель исследования. В

последние десятилетия армированные волокнами полимеры (FRP), связанные снаружи эпоксидными смолами, стали популярными решениями для восстановления [17–19], армирования, модернизации и ремонта железобетона (железобетона). ) структуры. Эти приложения охватывают различные конструкционные элементы [20], в том числе балки, армированные на сдвиг [21,22], балки, армированные на кручение [23] и подсборки балка-колонна, армированные на сдвиг [24], благодаря их многочисленным преимуществам. . Эти преимущества включают высокую прочность на растяжение и усталость, легкий вес и исключительную коррозионную стойкость [25,26]. Примечательно, что полимеры, армированные углеродным волокном (CFRP), отличаются превосходными характеристиками по этим свойствам по сравнению с другими FRP.

Кроме того, углепластики обладают высокой жесткостью, что позволяет им удовлетворять потребности в армировании бетонных конструкций, компенсируя при этом деформацию конструктивных элементов [27]. Эта особенность повышает их пригодность для модернизации, где сохранение структурной целостности при различных условиях нагрузки имеет первостепенное значение.

Однако, несмотря на многочисленные преимущества, предлагаемые материалами FRP, существуют проблемы, связанные с их применением в реальных структурных условиях. Такие проблемы, как преждевременное расслоение

были подняты вопросы отказов и низкой огнестойкости, что требует тщательного рассмотрения при их реализации [28]. Снижение сцепления, наблюдаемое в межфазной зоне между композитом FRP и бетонной поверхностью, может привести к более низкой, чем предполагалось, реакции на деформацию, что, как следствие, снижает эффективность модернизации применяемых FRP из-за преждевременного отсоединения [29,30].

407

Решение этих проблем и оптимизация характеристик материалов FRP в конструкционных применениях остаются важнейшими областями исследований и разработок. Путем повышения прочности межфазных связей, улучшения свойств огнестойкости и изучения инновационных методов модернизации можно полностью раскрыть потенциал стеклопластиков в повышении долговечности и устойчивости железобетонных конструкций.

Кроме того, обширные исследования в существующей литературе последовательно идентифицировали преобладающий тип отказа в модернизированных железобетонных элементах с использованием композитов FRP с внешней эпоксидной связью, таких как преждевременное отслоение или отслоение слоя FRP от бетонной основы. Этот режим разрушения обычно вызывается высокой концентрацией напряжений и связан с хрупким разрушением [31]. Это явление особенно распространено в железобетонных элементах Т-образной формы, подвергнутых U-образным схемам усиления, где наличие плиты ограничивает возможность применения обертывания FRP вокруг поперечного сечения и ограничивает доступность для правильного выполнения концевого крепления, тем самым усугубляя риск преждевременного отказа от дебондинга.

В этом контексте Chalioris et al. исследовали потенциальные преимущества нового метода упрочнения для повышения способности к сдвигу и улучшения пластичности критичных к сдвигу глубоких балок RC [27]. Исследование было сосредоточено на поперечном армировании с использованием исключительно веревок из C-FRP. Для реализации канатов из C-FRP были исследованы две различные конфигурации: встроенное сквозное сечение (ETS) для балок прямоугольного сечения и монтируемое вблизи поверхности (NSM) для глубоких балок с полками T-образной формы. В обоих случаях экспериментальное исполнение применяемого метода усиления на сдвиг дало многообещающие результаты, поскольку исследуемые балки, критические к сдвигу, в конечном итоге испытали разрушение при изгибе. Эти результаты подчеркивают эффективность предлагаемого подхода к усилению в повышении структурных характеристик глубоких балок RC и снижении риска разрушения, вызванного сдвигом.

Следовательно, использование канатов из C-FRP для повышения прочности на сдвиг железобетонных структурных элементов становится многообещающим методом армирования. Универсальность способов крепления этих канатов позволяет полностью использовать их высокую прочность на разрыв, обеспечивая гибкость при модернизации стратегий проектирования. Кроме того, тросы из C-FRP могут быть развернуты в нескольких конфигурациях, в том числе в пазах с заранее сделанными канавками по высоте балки (NSM) [32,33] или встроены в стенку балки (ETS). Такая адаптивность позволяет инженерам адаптировать подход к усилению в соответствии с конкретными требованиями и ограничениями каждого структурного элемента, тем самым максимизируя эффективность укрепления.

Хотя предложенные методы представляют потенциальные преимущества, существенные недостатки требуют дальнейшего изучения. Предыдущие исследования в основном были сосредоточены на раннем обнаружении повреждений в армировании FRP на эпоксидной связке, предлагая методологии неразрушающего контроля (NDT), особенно при армировании железобетонных конструкций композитными материалами FRP. Однако многие из этих методов оказываются непрактичными для больших и сложных конструкций из-за структурных ограничений и необходимости предварительного знания мест Более того, большинство подходов неразрушающего контроля характеризуются трудоемкими процедурами, высокими затратами, требованиями доступа на месте и отсутствием возможностей непрерывного мониторинга в реальном времени . Эти ограничения подчеркивают необходимость в более надежных и универсальных методах для эффективного решения задач структурного мониторинга и обнаружения повреждений [16].

Как подчеркивалось выше, обеспечение плавной интеграции существующих структурных элементов с армирующими материалами представляет собой многогранную задачу, чреватую неопределенностью . Следовательно, контроль структурной целостности модернизированных элементов конструкции считается полезным для безопасного продления их срока службы. Многочисленные исследователи углубились в область методов мониторинга состояния конструкций (SHM), применимых к бетонным элементам [34–36]. Тем не менее, исследования, специально нацеленные на SHM армированных волокн

бетон, включающий дисперсные синтетические макроволокна [37,38], композиты FRP [39–41], а исследования, посвященные структурным элементам, армированным C-FRP, относительно скудны в литературе [42–45].

408

Хотя важность SHM для повышения долговечности и безопасности бетонных конструкций широко признана, остается заметный пробел в исследованиях, касающихся применения этих методов к фибробетону и элементам, армированным стеклопластиком.

Устранение этого пробела посредством всесторонних исследований методологий SHM, адаптированных к этим материалам, имеет большой потенциал для развития области структурного мониторинга и обеспечения долгосрочной работы модернизированных конструкций.

Экспериментальная фаза этого исследования включала внедрение новой системы мониторинга на усиленной на сдвиг балке, подвергнутой четырехточечной изгибающей нагрузке, с целью оценить и оценить эффективность метода усиления каната C-FRP. В предложенном методе SHM использовалась система на основе электромеханического импеданса (EMI), оснащенная пьезоэлектрическими датчиками цирконата-титаната свинца (PZT) для беспроводного мониторинга импеданса (WiAMS) [46].

В этой экспериментальной установке частотные характеристики напряжения PZT-пластырей, расположенных по периметру веревки из C-FRP, были записаны при различных уровнях приложенной нагрузки. Эти условия нагрузки соответствовали различным состояниям здоровья конструкции или условиям повреждения. Кроме того, были предприняты усилия по количественной оценке вклада канатов C-FRP в сопротивление сдвигу RC-балки. Данной оценке способствовал анализ статистических значений индекса ущерба, полученных на основе данных мониторинга. Путем сопоставления реакции системы мониторинга с приложенной нагрузкой и состоянием здоровья конструкции была получена ценная информация о производительности и эффективности метода усиления веревки из C-FRP.

В рамках этого экспериментального исследования основной целью была оценка возможности EMI в качестве прикладного метода SHM для мониторинга структурной целостности, эффективности и производительности канатов из C-FRP, используемых в качестве метода модернизации глубокой прямоугольной балки. Для достижения этой цели во время установки рядом с канатами были установлены пьезоэлектрические датчики . Затем были зафиксированы характеристики напряжения этих PZT в частотной области при различных состояниях приложенной нагрузки и соответствующих условиях работоспособности конструкции (уровнях нагрузки).

Кроме того, была проведена оценка эффективности метода модернизации при рассмотренных уровнях нагрузки. Эта оценка проводилась с использованием значений, полученных на основе среднеквадратического отклонения (RMSD), широко используемого статистического индекса ущерба. Уникальный аспект этого исследования включает в себя создание комбинированной методологии, которая включает в себя реакцию пластырей РZT, встроенных в веревки из C-FRP во время испытаний на выдергивание, в качестве базовых данных гомогенизации. Путем объединения данных экспериментальной установки и испытаний на выдергивание была достигнута комплексная оценка характеристик веревки из C-FRP при различных условиях нагрузки.

## 3. Экспериментальная

программа 3.1. Характеристики

глубокой балки. R-глубинная балка имела прямоугольное сечение по длине длиной L = 1,6 м, шириной b = 150 мм и высотой h = 300 мм. Продольное армирование R-глубокой балки было расположено симметрично и состояло из стержней 2Ø14, расположенных как в зонах сжатия, так и в зонах растяжения. Кроме того, стремена Ø8/50 были расположены только на концах R-образной балки, рядом с опорами, чтобы закрепить продольную арматуру и предотвратить растрескивание бетона.

Пролет балки на сдвиг составил α = 400 мм, а общая толщина бетонного покрытия составила 35 мм, в результате чего эффективная глубина составила 265 мм. Следовательно, коэффициент сдвига α/d был рассчитан равным 1,51. Однозвенный канат из C-FRP был установлен вертикально на правом срезном пролете, а на левом срезном пролете веревка была вставлена в просверленное отверстие под наклоном примерно 52 . Оба троса были установлены в качестве усиления ETS. Все детали балки показаны на рисунке 1.

Machine Translated by Google-

Прил. Мех. 2024, 5

веревки для нападения - один nserton nto te reoes.

Заполнение отверстий эпоксидной смолой для устранения пустот и улучшения сцепления закладных материалов.

409

Приложение небольшого натяжения к концам веревок для достижения окончательного крепления.
 формирование.

• Добавление большего количества эпоксидной смолы на поверхность балок для достижения более гладкой поверхности...

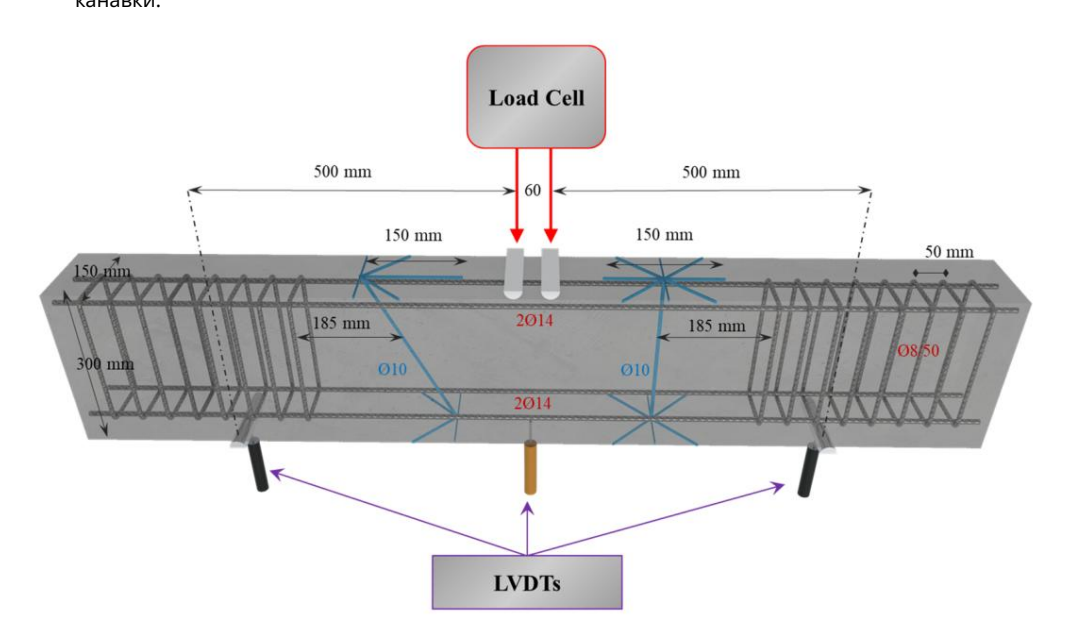


Рисунок 1. Геометрия и детали армирования балки R-Deep Beam. Рисунок 1. Геометрия и детали армирования балки R-Deep Beam.

Установка процесса ETS для канатов C-FRP в «R-FRP» заключалась в следующем: 3.2. Материалы

• Формирование кисточек крепления и сверление отверстий в стенке балки.

угле в использовании и спользованае сжатого воздуха и специальная и делки для равленнях скопившейся пыли внутри. В спецификания распользование сжатого в спецификания поперечного сечения

примерно 28 мм2, минимальное удлинение до разрыва 1,6% и жесткость (модуль упругости) 240 ГПа • Пропитка каната эпоксидной смолой в соответствии с техническими данными производителя. для неприситанных волокон.

смолюк кватавы кексевик кыреплерпытана эпоксидной смолой (Sikadur-52, SIKA). • Заливка эпоксидной Нешереком петеречины ком обществение этоксидной смолой (Sikadur-52, SIKA). • Заливка эпоксидной Нешереком петеречины как эпоксидной смолой (Sikadur-52, SIKA). • Заливка эпоксидной на нешеречины как эпоксидной смолой (Sikadur-52, SIKA). • Заливка эпоксидной учетов учетов учетов обществения и перметизации закладных паста (Sikadur-52, SIKA). • Заливка эпоксидной учетов учетов обществения обществения учетов обществения учетов обществения учетов обществения учетов обществения учетов обществения учетов обществения обществения учетов обществ

ка<del>структурную верленные для приложение авобо</del>я<u>й долого навтяже</u>баялен<del>ия дереваледы дес ликелания о</del>нчательного крепления целостносформирование.

• Добавление большего количества эпоксидной смолы на поверхность балок для получения более гладких канавок.

## 3.2. Материалы

В исследовании использовалась веревка из C-FRP, изготовленная из однонаправленных гибких углеродных волокон.

В характеристиках производителя указана площадь поперечного сечения около 28 мм2, минимальное удлинение до разрыва 1,6% и жесткость (модуль упругости) 240 ГПа для непропитанных волокон.

Впоследствии веревка была пропитана эпоксидной смолой (Sikadur-52, SIKA Hellas Kryoneri, Греция) со свойствами, указанными в Таблице 1. Этот процесс был направлен на повышение механические свойства и долговечность веревки из С-FRP. Дополнительно эпоксидная паста (Sikadur-330, SIKA Hellas, Крионери, Греция) использовался для заполнения и герметизации канавок. просверлены для экспериментальной установки, обеспечивая надлежащую адгезию и структурную целостность.

Для оценки механических свойств бетона используются стандартные бетонные цилиндры. диаметром 150 мм и высотой 300 мм подвергались испытаниям на прочность на сжатие и раскалывание. В день испытаний среднее значение бетонных балок Измеренные значения прочности на сжатие и растяжение составили 28,0 МПа и 2,70 МПа соответственно. Бетонная смесь, использованная в экспериментах, содержала максимальное количество заполнителей с диаметр 16 мм.

Деформированная стальная арматура ( 14 мм) имела предел текучести 580 МПа, а мягкая стальные хомуты ( 8 мм) имели предел текучести 310 МПа.

Прил. Мех. 2024, 5

Бетонная смесь, использованная в экспериментах, содержала максимальное количество частиц заполнителя диаметром 16 мм.

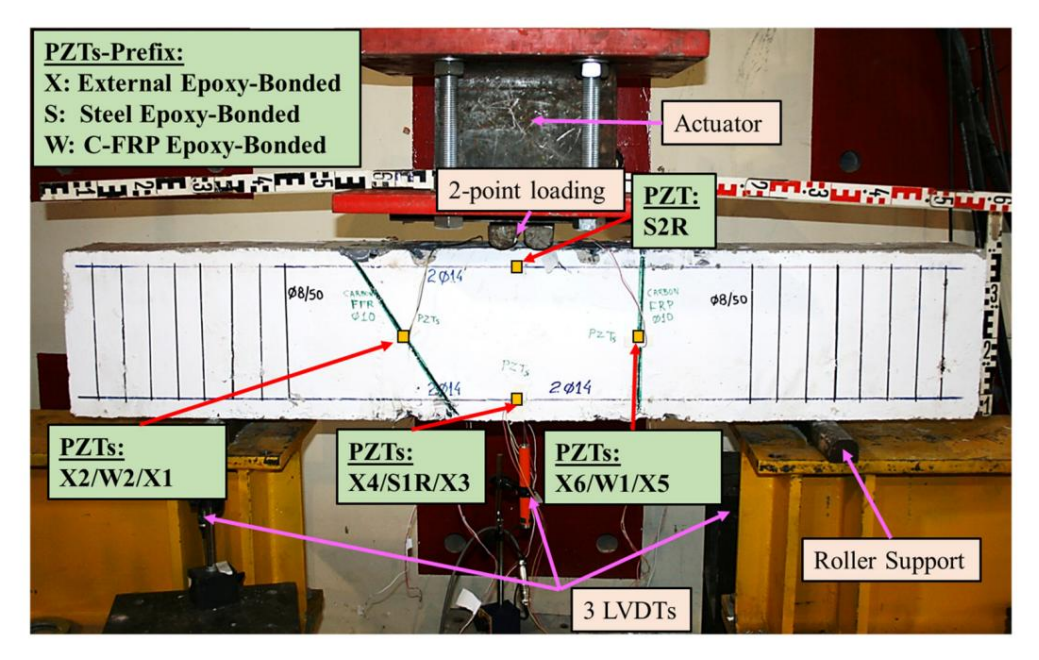
Деформированная стальная арматура ( 14 мм) имела предел текучести 580 МПа, а мягкая стальные хомуты ( 8 мм) имели предел текучести 310 МПа.

Таблица 1. Механические свойства канатов из C-FRP.

С-FRP. Механические свойства материала Таблица 1. Механические свойства канатов из

	Веревка C-FRI	Предел прочности (TS)		<del>2100 ГПа</del>
Материал	SikaWrap FX-50C	Механические свойства Модуль Упругости при растяжении		230 ГПа
Веревка C-FRP	(Ламинат)	Предел прочности (Т\$)	2100 ГПа	0,87%
SikaWrap FX-50C	(Flaminia)	Предел прочносту ЛГЯ ение при разрыве напряжения Модуль упругости при растяжении ТС	230 ГПа	45 МПа
(Ламинат)	Сикадур 300 У	длинение при разрыве напряжения	0,87%	3.5 ГПа
Сикадур 300		Модуль упругости при растяжении ТС	45 МПа	.,-
	Сикадур 330	Сикадур 330 Модуль упругости при растяжении		30 МПа
Сикадур 330		Модуль упругости при растяжении ТС	30 МПа	4,5 ГПа
	Сика Анкорфикс 3† <sub>Модуль упругости при растя<b>жении</b>ость на сжатие</sub>		4,5 ГПа	114 МПа
Сика Анкорфикс 3+		Прочность на сжатие	114 МПа	
	3.3. Испытательная установка	·		

Балка прошла испытания с использованием установки на четырехточечный изгиб, как показано в 3.3. Испътательная установка Рис. 2.1 идравлический привод, управляемый машиной с сервоуправлением, приложил градиентное усилие. Балка Увеличение наигрубий (Монситичей равнуты верхняеми наверхняеми на верхняеми и сереба ва мочеточным в мируг от друга. Балку Двином фритеравеновый кентели чивара ми серхняеми, файпоя беженичие по ми друг от друга. Балку Двунарски ва верхняеми чивара ми серхняеми учеторони учеточный для вярение по ми друг от друга. Балку Двунарски ва верхняеми и верхни чивара мире учеторони учеточным для вярения по краям двумя Роди верхняеми в предоставления в предост



Техни Фев Пелдечив и элемере межано порожения отклонений балок. В частности линейной переменной . 3.4. (LVDT) использовались для измерения отклонений балок.

# 3.4. Метод электромеханического импеданса (ЭМИ)

В методе электромагнитных помех используются преобразователи РZT, которые используют преимущества пьезоэлектрического явления. При механическом воздействии преобразователи РZT генерируют поверхностный электрический заряд и, наоборот, приложение электрического поля индуцирует механическая вибрация. Таким образом, используя это явление, электромагнитные помехи активируют и вызывают вибрации в связанных или встроенных ЦТС-преобразователях внутри основной конструкции. Любой изменение механического импеданса конструкции (или обратного адмиттанса) отражается в изменения в извлеченном электрическом сигнале из ЦТС (либо по напряжению, либо по частоте). ответ). Взаимодействие ЦТС с основной структурой представлено в виде сигнатура адмиттанса, состоящая из действительной части (проводимость) и мнимой части (поддерживающая

410

Machine Translated by Google механическая вибрация. Таким образом, используя это явление, электромагнитные помехи активируют и вызывают вибрации в связанных или встроенных ЦТС-преобразователях внутри основной конструкции. Любое изменение механического импеданса конструкции (или обратного адмиттанса) отражается в изменениях электрического сигнала, извлекаемого из ЦТС (либо напряжения, либо частотной характеристики). Взаимодействие между РZT и основной структурой представлено в виде характеристики адмиттанса, состояЦей из действительной части (проводимость) и мнимой части (проводимость). Эти взаимодействия проявляют

структурные характеристики внутри сигнатуры, как описано уравнением (2) для комплексного пропускания втритурепладниколотужност кан РХТ: восприятие). Эти взаимодействия проявляют структурные характеристики описывается уравнением (2) для комплексной дроводимости У прикрепленной накладки из ЦТС:

$$\frac{1}{Y} = \frac{4}{9} + \frac{231}{11} + \frac{231}{1$$

 $^{-}$  = = G + BJ = 4ωJ  $\stackrel{\sim}{-}$  33  $\stackrel{\leftarrow}{-}$  (2) где : гармоническое переменное напряжение, подаваемое в цепь, : ток, проходящий через PZT, G: проводимость

(действительная часть проводимости), В: проводимость (мнимая часть где V: ғармоническое переменное напряжение, подаваемое в цепь, I: прохождение тока через проводимость), ј: мнимая единица, у: угловая частота, L: половина длины участка, h: толстый РZT, G: проводимость (действительная часть проводимости), В: проводимость (мнимая часть проводимость), проводимость (действительная часть проводимость), В: проводимость (мнимая часть глотность заплатки, d31: коэффициент пьезоэлектрической деформации РZT, Za, eff: эффективность короткозамкнутого замыкания), ј: мнимая единица, у: угловая частота, L: полудлина заплатки, h: толщина тивный механический импеданс, Zs,eff: эффективный структурный импеданс, n: коэффициент Пуассона, k: волна заплатки, d31: коэффициент пьезоэлектрической деформации ЦТС, Za,eff: эффективный короткозамкнутый число, связанное с угловой частотой, : комплексный модуль упругости Юнга, немеханический импеданс, Zs,eff: эффективный структурный импеданс, n: коэффициент Пуассона, k: волновой

в постоянном электрическом поле, и: комплексная эдектрическая проницаемость пластыря ЦТС вдоль : число, связанное с угловой частотой, Y комплексного модуля упругости Юнга при ось при постоянном напряжении.

постоянное электрическое поле и  $\epsilon_{33:\ KOMПлексная}$  электрическая проницаемость накладки ЦТС вдоль оси при Любые изменения в железобетонной балке, такие как изменения ее своиств массы и жесткости, постоянный стресс.

неизбежно приведут к изменениям структурных параметров, что, в свою очередь, повлияет на любые изменения в железобетонной балке, такие как изменения ее свойств массы и жесткости. эффективный структурный импеданс. Эти изменения также приведут к изменениям в конструкции, что неизбежно приведет к изменениям в структурных параметрах, что, в свою очередь, повлияет на проводимость, как определено уравнением (2), тем самым указывая на состояние здоровья элемента - эффективный структурный импеданс. Эти изменения также повлекут за собой изменения в

пропускная способность Y, как определено уравнением (2), тем самым указывая состояние работоспособности элемента. В этом экспериментальном исследовании выбран подход для обнаружения изменений в установленных

-застопорившиеся канаты из С-FRP включали использование преобразователей РZT, возбуждаемых синусоидальной гармоникои. Тросы из С-FRP включали использование преобразователей РZT, возбуждаемых синусоидальной гармоникой. гармоническое напряжение 2.5 В в определенном диапазоне частот от 10 до 250 кГц, напряжение 2,5 В в определенном диапазоне частот от 10 до 250 кГц, с ራያዘብ ያለት የሚያለው преобразователи генерировали сигнал напряжения и захватывали сигнатуры электромагнитных помех, которые затем обрабатывалисы ABBARATAMPHTSMSULDWOLHELYIJISLWABISISDBARATARTARTORDENDARGARTARTARTORDENDARGARTARTARTORDENDARGARTARTARTARTORDENDARGARTARTARTORDENDARGARTARTARTORDENDARGARTARTARTORDENDARGARTARTARTORDENDARGARTARTARTORDENDARGARTARTARTORDENDARGART ужажет управляться зинеленносунке э казано на рисунке 3. может управляться

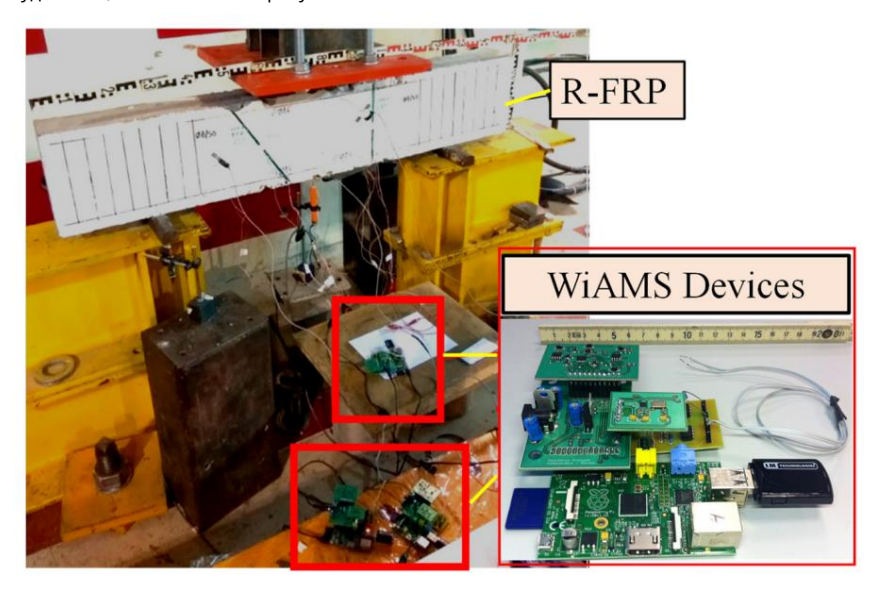


Рисунок 3. Р**И**б**ліро** й **СУВ** ВМІ**ЛЬМ SVІТАРИСУПРАТДА МО ПО ПО ВТЕФАДЬ SHM.** 

Вначале измерения электромагнитных помех проводились на луче в его первоначальном первозданном виде. штата, устанавливая базовый уровень его заявленного здорового состояния. Впоследствии эти измерения были повторены при различных сценариях потенциального ущерба, моделируя условия это может поставить под угрозу структурную целостность. Полученные результаты затем тщательно по сравнению с оценкой любых отклонений с использованием статистических показателей, особенно среднего значения. Квадратное отклонение (RMSD). Этот сравнительный анализ позволил обнаружить и оценить структурные изменения, предоставив ценную информацию о состоянии балки и ее состоянии.

целостность при различных условиях нагрузки. В этом месте примечательно отметить, что

Прил. Мех. 2024. 5

Machine Translated by Google Воздействия повторялись при различных сценариях потенциального повреждения, моделируя условия, которые могли поставить под угрозу структурную целостность. Полученные результаты затем тщательно сравнивались для оценки любых отклонений с использованием статистических показателей, в частности среднеквадратического отклонения (RMSD). Этот сравнительный анализ позволил обнаружить и оценка структурных изменений, предоставляющая ценную информацию о состоянии и целостности балки

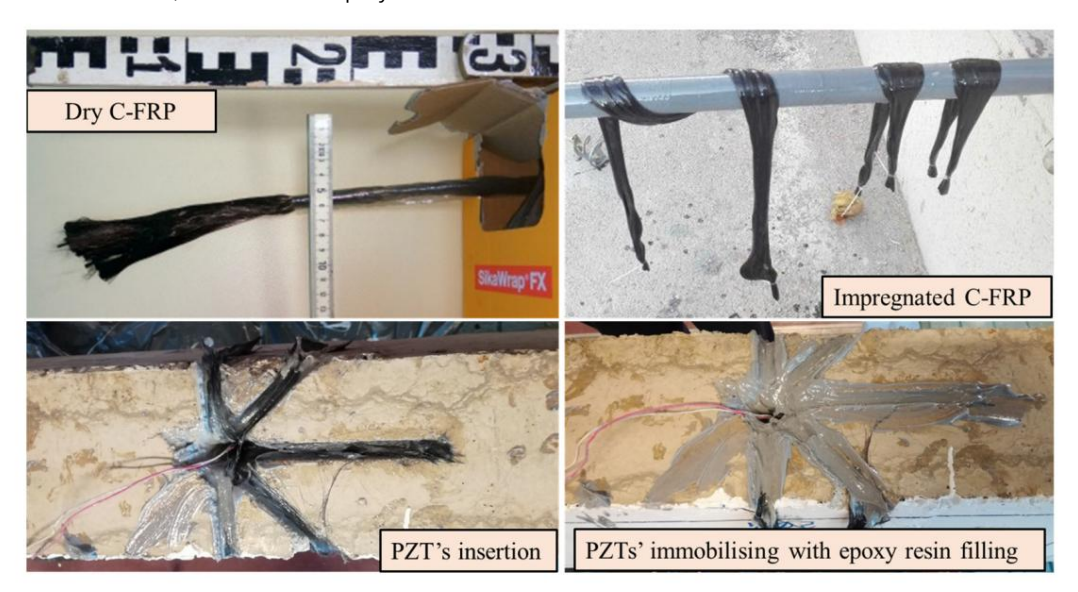
при различных условиях нагрузки. Здесь следует отметить, что все измерения напряжения проводились в контролируемых лабораторных условиях, чтобы все измерения напряжения проводились в контролируемых **ла∮бенатине ны**м**ес**ливчах кытебаний бекатературы и влажности. помехи из-за колебаний температуры и влажности.

3.5. Установка РZТ-патчей 3.5. Установка патчей PZT

Балка R-FRP была оснащена одинаковыми маленькими и тонкими датчиками PZT, каждый из балок Rразмером 10 × 10 × 2 мм. Эти пластыри РZT, получившие обозначение PIC 151, были изготовлены размером 10 × 10 × 2 мм. Эти пластыри РZT, получившие обозначение PIC 151, были изготовлены от компании PI Ceramics. Компания PI Ceramics стратегически разместила в общей сложности десять ЦТС. от компании РІ Сегатісь. Компания РІ Сегатісь стратегически разместила в общей сложности десять ЦТС. В вобщей сложности десять ЦТЗ были стратегически расположены на территории. Оалка в различных конфигурациях, как показано на рисунке 2. Шесть ЦТТ (три размещены на балке в различных конфигурациях, как показано на рисунке 2). Шесть ЦТЦ (три размещены спереди) спереди и три сзади) были приклеены эпоксидной смолой снаружи к критическим механическим местам, а три сзади) были приклеены эпоксидной смолой снаружи к критическим механическим местам на на бетонной поверхности, особенно в местах, подверженных изгибу и диагональному сдвигу бетонной поверхности, особенно в местах, склонных к образованию диагональных трещин при изгибе и сдвиге, трещины, обозначенные как «Х1–Х6». Два дополнительных ЦТС были прикреплены к стальной арматуре, обозначенной как «Х1–Х6». Два дополнительных ЦТС были прикреплены к стальной арматуре. при этом один расположен в середине натянутого арматурного стержня (S2R), другой - в середине натянутого арматурного стержня (S2R), а другой - в середина изгибаемого арматурного стержня (S1R). середина изгибаемого арматурного стержня (S1R).

Оставшиеся две заплаты РZT были тщательно размещены на веревках из C-FRP в соответствии со следующей процедурой: Заплаты РZT были одновременно вклеены в соответствии со следующей процедурой: Патчи РZТ были встроены одновременно с

с веревками, вставленными в каждое просверленное отверстие. Каждая заплата из ЦТС была надежно прикреплена к веревкам, вставленным в каждое просверленное отверстие. Каждая нашивка РZT была надежно прикреплена к веревке. веревку с помощью эпоксидного клея, сварные проволоки были тщательно привязаны к веревке с помощью эпоксидного клея, а сварные проволоки были тщательно привязаны к веревке с помощью компонент шины и стальная проволока для обеспечения окончательного расчетного положения заплаты РДТ Компонент шины и стальная проволока для обеспечения окончательного расчетного положения заплаты РДТ ЗЫХЫТКИМЫЛЫ МЕКТР ЛЮЧВЕРКҮЙН МЕСТӨПБИВЯЭКИ БЕНЮРЕНОР ТАКИМ РВРЕЗИЧЕКТОРЫК, ЭФГОБІКАЛЕТТЫРЬ ЦТС заканчивалс вверх приклеенный внутри к просверненному в тверстию в свредтию в спредине в приклеенный внутри к инфиненты каната. В в рх стальная проведения каната, заплаты ЦТС и ରୀଞ୍ଚିଷ୍ଟମେଖ୍ଟ୍ରମୁସ୍ତନ୍ତ୍ରେ <del>ଏକ</del>ମର ମୁଖନ୍ତ ନିଧ୍ୟୟର <del>୪ଣଣ</del>୍ଡମନ୍ତ୍ର ଅଧିକ୍ରଣଣ ଅଧିକ୍ର ମଧ୍ୟୟ ଓ обозначены как W1 и W2, дыра, после чего COOTBETCTBEHLIO, KAK FLOKASAHO HA PUNCAHKE 4:



Рисуник 4. Вставина дагтчиков Р27 в просвертенные отверстил, собранных стомощью веревок ССРЯР.

4. Результаты и обсуждение. 4. Результаты и обсуждение 4.1.

Тест на выдергивание

4.1. Испытание на

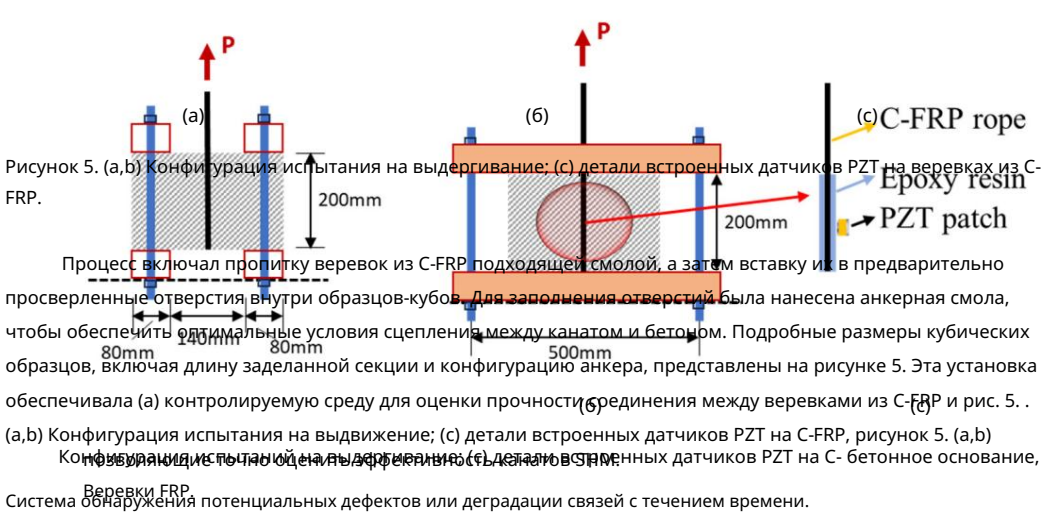
отрыв. Чтобы оценить эффективность системы SHM на основе электромагнитных помех при оценке прочности соединения, было проведено испытание на выдергивание с использованием прямой конфигурации для крепления веревок из C-FRP, без выступающего конца. В связи с этим были изготовлены кубические образцы бетона. служат опорой для крепления, как показано на рисунке 5.

Процесс включал пропитку канатов C-FRP подходящей смолой, а затем вставляя их в предварительно просверленные отверстия внутри образцов куба. Закрепляющая смола была применяется для заполнения отверстий, чтобы обеспечить оптимальные условия сцепления между веревкой и веревкой. конкретный. Подробные размеры образцов куба, включая длину заделанного раздел и конфигурация якоря представлены на рисунке 5. Эта установка обеспечила контролируемая среда для оценки прочности соединения между канатами C-FRP и

Прил. Мех. 2024, 5

Чтобы оценить эффективность системы SHM на основе EMI при оценке прочности соединения, было проведено испытание на выдергивание с использованием прямой конфигурации для крепления веревок из C-FRP без каких-либо выступающих концов. В связи с этим кубические образцы бетона служили бетонной подложкой, что способствовало точной оценке эффективности SHM.

изготовлены в качестве опоры для крепления, как показано на рисунке 5 система обнаружения потенциальных дефектов обсединения или детадации с течением времени.



Установка прошла испытание на прямое выдергивание с применением монотонной постоянной натружмое Гирощега-висикавы дерогиваную выпраменения. Во время испытания три лазерных датчика вставряющей распысать процессать по в премя испытания три лазерных датчика вставряющей распысать процессать по в премя испытания три лазерных датчика вставряющей распысать процессать по в премя премя процессать предстать предстать предстать предстать предстать предстать предстать предстать

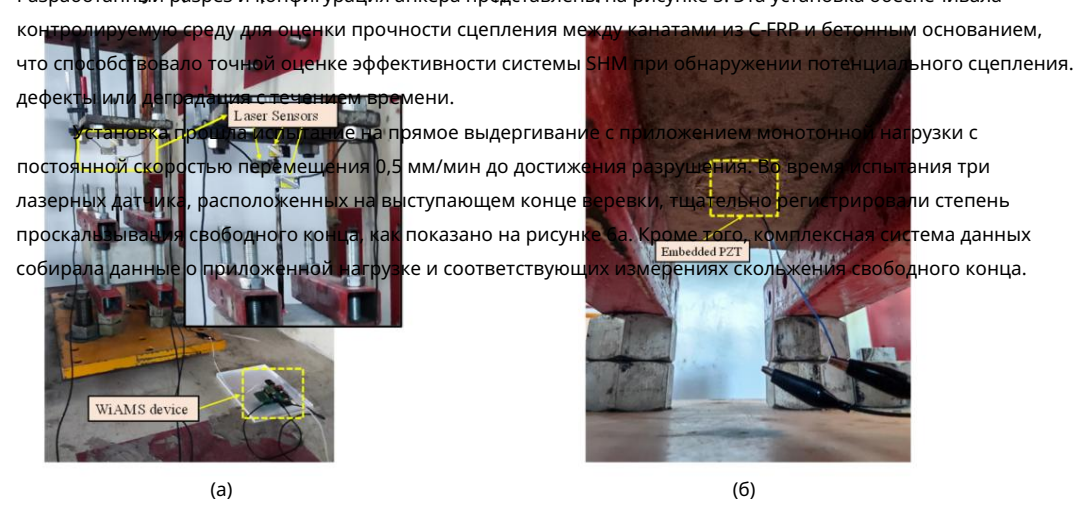


Рисунок б. (а) Көнфигурация тестирования извлечения и устройство WiAMS; (в) вид вложенногурация тестирования извлечения и устройство WiAMS; (в) вид вложенногурации гором разработда дакимун в Z-Баба курыфилурации контрольного в С-FRP.

Кроме торомесряну, есеветресь кее вывари стыла прокаралисные сервней ической рабеноложенная евраплатка из ЦТС. стратегинасцию распользование распользование в мониторинге и регистрации структурной реакции системы крепления, обеспечивая ценная информация о поведении сцепления между канатом из C-FRP и бетонным основанием на протяжении всего теста на выпративание.

Диаграмма напряжения и частоты, соответствующая тесту на выдергивание, изображена на рис. 6. (а) Конфигурация испытания на выдергивание и устройство WiAMS; (б) вид заделки в перевернутом виде 7. Сплошной черной линией показана реакция веревки из C-FRP в первозданном состоянии: разработал датчики РZТ для конфигурации канатов из C-FRP. изображен и помечен как «Здоровый». Далее голубыми и синими сплошными линиями изображены измерения

отклика напряжения на восходящей стадии и пиковая прочность на разрыв.
Кроме того, к веревке внутри была прикреплена стратегически расположенная заплата из ЦТС ,
обозначенная как «Плотина1» и «Плотина2» соответственно. Более того, в зеленом непрерывном
предварительно просверленное отверстие в кубе, как показано на рисунке бb. Этот патч РZT сыграл решающую
роль, измерение напряжения на нисходящей постпиковой стадии изображено и обозначено
как «Плотина3». При внимательном рассмотрении диаграммы были обнаружены заметные отклонения в

кривые реакции между неповрежденным состоянием и различными уровнями смоделированного повреждения

Рисунок 7. Черной непрерывной линией показана реакция веревки из C-FRP в исходном состоянии, которая Machine Translated by Google помечена как «Исправная». Кроме того, голубыми и синими сплошными линиями показаны измерения

отклика по напряжению на восходящей стадии и пиковой прочности на разрыв, которые обозначены как

«Dam1» и «Dam2» соответственно. Причем зеленой непрерывной линией изображено измерение напряжения на нисходящей послепиковой стадии и

Прил. Мех. 2024. 5 обозначается как «Dam3». При внимательном рассмотрении диаграммы наблюдались заметные отклонения.

на кривых отклика между неповрежденным состоянием и различными уровнями моделируемого

повреждения в диапазоне частот 120-250 кГц. Это наблюдение подчеркивает наличие диапазона частот 120-250 кГц. Это наблюдение подчеркивает способность датчиков обнаруживать условия отсоединения или выхода из строя канатов C-FRP. Способность обнаруживать условия отлоения или разрушения канатов из C-FRP. Величина ступенчатое изменение общего отклика ЦЗТ в заданном диапазоне частот ступенчатое изменение общего

414

ступенчатое изменение общего отклика цът в заданном диапазоне частот ступенчатое изменение общего отклика ЦТГ в заданном диапазоне частот диапазон указывал степень отказа. Эти отклонения на диаграмме напряжение-частота указывали на степень неисправности. Эти отклонения на диаграмме напряжение-частота дают ценную информацию о структурной целостности системы крепления, а также позволяют получить ценную информацию о структурной целостности системы крепления и позволяют выявление потенциальных дефектов или деградации соединения во время испытания на отрыв. выявление потенциальных дефектов или деградации соединения во время испытания на отрыв.

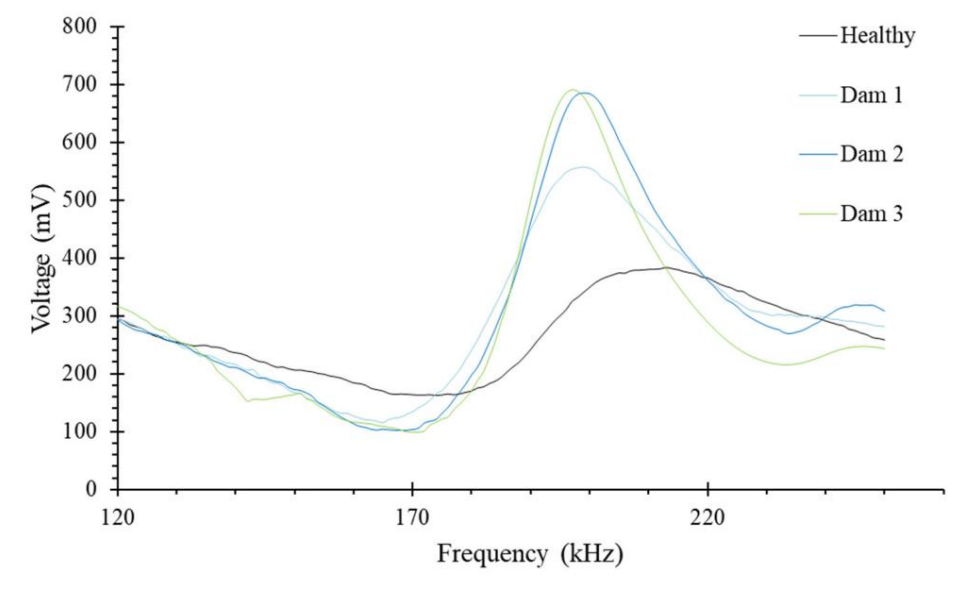


Рисунок 7. Реакция напряжения РZT при испытании на выдергивание веревки из C-FRP. Рисунок 7. Реакция напряжения РZT при испытании на выдергивание веревки из C-FRP.

4.2. Испытание на глубокую балку

4.2. Испытание на глубокую комплексные характеристики балки с прямоугольным поперечным сечением, илл. Комплексные изи от не инелементория за выборо фицирового, компортроменно выборо в выборо в потроментория и потроментория в потроментория обратриедыядущим исследованиям, проведенным Chalioris et al. [27]. Кроме того, характер растрескивания

РЕЦЕНОНИД теред в идо цар и мих фтеедруваен ийя импорытар<del>енных</del> хбайлайю пізкежени ≴261р жХронжента при «ханрятел Вачртасдрет кирведчия вление о том, что обдоуживительное инфинациональное выпользований в профессований в профессов дополнительную информацию о реакции конструкции при различных условиях нагрузки.

200 180 9.00 160 8.00 Applied Load (kN) 120 6.00 WiAMS measurements 100 5.00 V (kN) - d (mm) 80 4.00 Crack-meter LEFT (mm) 60 3.00 Crack-meter MID (mm) 40 2.00 Crack-meter RIGHT (mm) 20 1.00 0 0.00 10 20 45 0 5 25 30 35 40 Mid-span deflection (mm)

Рикинунов: ««Эндитель в эттерекивания в уклепериянтальные в повые на ведена в борьный в терей.

## 4.3.3AAHAN193AAHHHX

м мемнеотоо инимонаю изом вардо языну дже мейона и инимонаю и инимонам и иним проанализированы и оценены в этом контексте с использованием статистического индекса RMSD. Выражение индекса представлено ниже в уравнении (3).

Прил. Мех. 2024, 5, ДЛЯ ЭКСПЕРТНОЙ

были проанализированы и оценены в этом контексте с использованием статистического индекса RMSD. Выражение индекса представлено ниже в уравнении (3).

CKO = 
$$\frac{\prod_{r=1}^{M} Bn(\phi p) \prod_{\beta} Bn(\phi p) = 0}{\prod_{r=1}^{M} Vp(fr) = 0}$$
 (3)

415

Д

где Vp(fr) <sub>0</sub> относится к отклику напряжения в исходном исходном состоянии, а Vp(fr) относится к характеристикам напряжения в любом последующем состоянии.

## 4.4. Оценка эффективности метода модернизации На основе

результатов, полученных в ходе испытания на выдергивание, и извлеченных значений индекса RMSD при определенных уровнях нагрузки до окончательного разрушения каната из C-FRP (как показано 2024, 5, НАРУКС МЕЖТ ЙЗУ4, 5, НА ЭКСПЕРТИЗУ г.н.а рисунке 9), оценка остаточного сдвига была предпринята попытка оценить несущую способность. Этрг оценка проводилась с использованием гомогенизирующего подхода, который включал корреляцию значений RMSD теста на выдергивание со значениями, полученными при помощи глубокого луча.

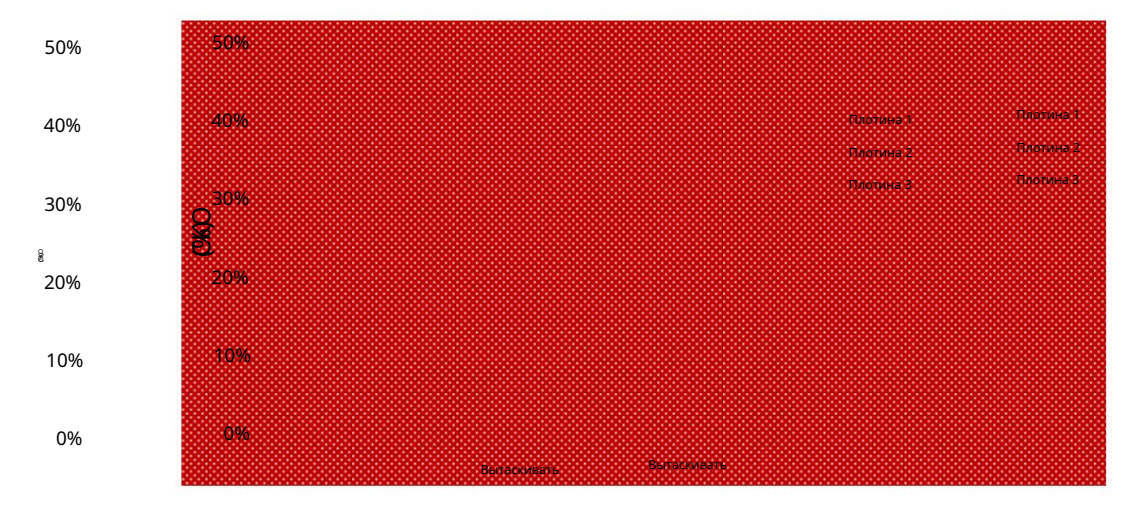


Рисунок 9. Значения RMSD PZT при испытании на выдергивание веревки из C-FRP.

Кроме того, все значения индекса RMSD, полученные при заделке двух связанных РZТ-Кроме того, все разрушении на 30 ман тивовинать и было станирым при заделке двух связанных РZТ-Кроме того, все разрушении на 30 ман тивовинать и было станирым при канатов ком полученных внутри канатов канатов канатов ком полученных внутри канатов разрушения при испытаний на выдельный выпровений в пробесто при выпровений позволить при канатов при канатов разрушения при канатов канатов канатов канатов канатов канатов при канатов разрушения при канатов в состоянии наоборот, значения при канатов пробест по при канатов и испытание наоборот, значения по при канатов при канатов и испытание по казаны на рисунке прочность на расты как канатов и испытания по казаны на рисунке прочность на расты как канатов и испытания канатов. Условиях нагрузки.

Рисунок 10 еще раз подтверждает этот подход.



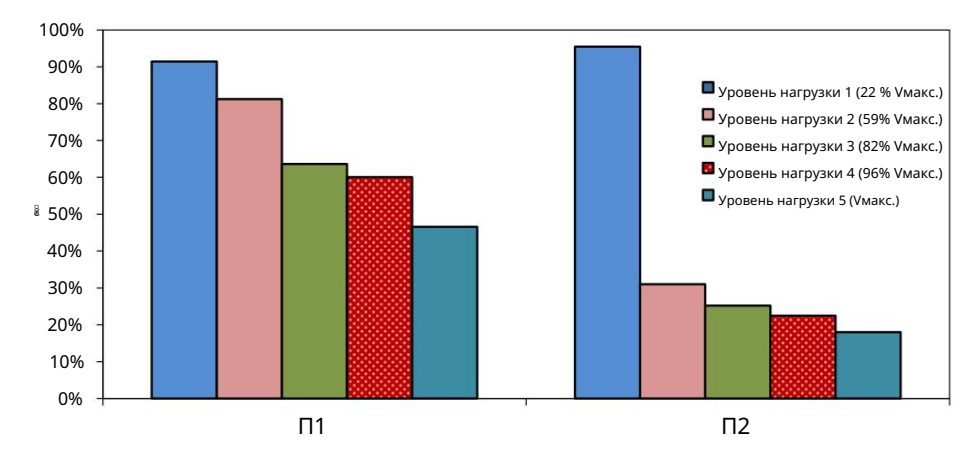
Рисунок 10. Окончате<mark>/КЫШЖЪИ. <u>ОХ</u>ЫЧИТЕРИНТЬЕЙ ВЫД РАЗРУДНЕ</mark>НИЯ веревки из C-FRP. Рисунок 10. Окончательный вид разрушения веревки из C-FRP.

100%	100% Кроме того, все	значения индекса RM	SD, полученные для двух	связанных РZT, зад <sup>,</sup>	еланных в канаты					
90%	90% сквозного сечения, бы	ыли стандартизирован	ы относительно получен Уровень нагр	ных значений. Урог	зень нагрузки 1 (22%					
80%			т процесс гомольный процесс гомольный т							
70%	(82 $\%$ max): остаточна	ах): остаточная прочность на сдвиг канатов W1 иурського пред на при за Награ								
60%	Путем сопоставления з	начений индекса RMSD	из системы мониторинга ст	ки 4 (96% ровень нагрузки поддержкой РZT со зн	і 4 (96% Умакс.) начениями уровня					
<sub>8</sub> 50%	(Vmٍ <b>58)</b> ‰полученный в р	Путем сопоставления значений индекса RMSD из системы мождовы нагрузки 4 (96% Умакс.) Уровень нагрузки загрузки 5 (Утах). (Vpn88), полученный в результате испытания на выдергивание, позволил получить ценную информацию об								
40%	остадожной прочности	канатов на сдвиг и их х	карактеристиках в различн	ıых условиях нагруз <sub>і</sub>	ки.					
30%	30%									
20%	20%									
10%	10%									
0%	0%									
	П1	П1	пэ	П2						

Machine Translated by Google

Прил. Mex. 2024. 5

Рисунок 10. Окончательный вид разрушения веревки из C-FRP.



416

Рисунок 11 Остаточная прочность на савиг встроенных канатов из C-FRP.

На рисхина d 1 поекалани сестряженние грисской предняеть на правом пролете. В первую очередь это увемения уческой предняеть в правом пролете. В первую очередь это увемения уческой предняеть при в правом пролете. В первую очередь это увемения уческой предняеть при в правом пролете. В первую очередь это увемения уческой преднага предна

Кроме того, это отражается на левых значениях трещинометра, где раскрытие трещины было заметно снижено по сравнению с таковым в правом пролете. Таким образом, до этого уровня загрузки веревка потеряла примерно 78% своей общей расчетной прочности на сдвиг. Эти идеи пролили освещение динамического взаимодействия между усиливающими элементами и конструкцией. поведение, подчеркивая важность продуманного позиционирования и дизайна.

в оптимизации производительности и устойчивости к механизмам разрушения, вызванным сдвигом.

Для дальнейшей оценки эффективности инновационного метода усиления была использована аналитическая модель, предложенная Mofidi et al. [47] была применена для расчета вклада веревок к общей прочности на сдвиг балки в состоянии разрушения. Кроме того, крайне важно обеспечить, чтобы эффективная деформация канатов C-FRP не превышает 0,4% для достижения достаточной блокировки совокупность бетона и перекрытие трещин, как рекомендовано ACI 440.2R-08 [48].

Путем реализации всех предложенных расчетов, изложенных в соответствующей работе

Чалиорис и др. [27] были получены следующие значения:

Vf,ETS, RTpoc = 39,6 kHVf,ETS, Lrope = 53,3 kH

Кроме того, исходя из предположения, что средняя прочность ламината на разрыв канат составлял примерно 2000 Н/мм2., общая остаточная прочность на сдвиг для каната W1 составила рассчитывается как Vf,ETS, Rrope = 31,8 кH. Аналогично для каната W2 остаточная прочность на сдвиг составляла рассчитано как Vf,ETS, Lrope = 49,2 кH, что демонстрирует замечательную близость 92,3% к результаты аналитических расчетов. Эти выводы подчеркивают эффективность предлагаемого технику усиления и подчеркнуть ее потенциал для точной оценки остаточной прочность на сдвиг в реальных условиях.

# 5. Выводы

В этом экспериментальном проекте исследуется эффективность инновационного метод усиления, включающий использование веревок из C-FRP в качестве поперечной арматуры, работающей на сдвиг. был проведен. Эта оценка была проведена путем внедрения метода, основанного на EMI. включается датчиками PZT. Кроме того, модифицированное применение метрики статистического индекса RMSD использовался для оценки эффективности метода укрепления.

В отличие от традиционного использования индекса RMSD для выражения уровней повреждения или воздействия нагрузки, в этом исследовании использовались значения индекса 100%-RMSD для отображения остаточного сдвига.

силовой потенциал. Этот новый подход позволил оценить эффективность метода укрепления, продемонстрировав многообещающую сходимость и точность аналитических прогнозов. Этот сравнительный анализ улучшает понимание эффективности метода усиления и предоставляет ценные данные для дальнейшей оптимизации и совершенствования стратегий структурного усиления.

Более того, результаты, полученные с помощью прикладного метода, основанного на электромагнитных помехах, предоставляют значительную возможность служить надежным дополнительным инструментом для диагностики дефектов повреждений и оценки эффективности материалов на основе волокон в сценариях реального времени. Стоит отметить, что присутствие эпоксидной смолы в просверленных отверстиях может незначительно повлиять на точность экспериментальных результатов, полученных с помощью метода РZT на основе EMI.

417

Кроме того, хотя это исследование показывает многообещающее соответствие аналитическим прогнозам относительно вклада веревки в прочность на сдвиг, необходимы дополнительные экспериментальные работы для дальнейшей оценки и повышения точности предлагаемой методологии оценки. Целью дальнейших экспериментов является обеспечение устойчивости и надежности этого нового подхода для реальных приложений, тем самым продвигая область методов структурного усиления.

Вклад авторов: концептуализация, NAP, MCN и GMS; методология, НПД и МКН; формальный анализ, НПД и СОБ; расследование, ЦИК, НПД и СГМ; курирование данных, NAP и MCN; письменная форма – подготовка первоначального проекта, НПД и МКС; написание-обзор и редактирование, НПД и ЦИК; визуализация, МЦН; надзор, ЦИК. Все авторы прочитали и согласились с опубликованной версией рукописи.

Финансирование: Данное исследование не получило внешнего финансирования.

Заявление о доступности данных: оригинальные материалы, представленные в исследовании, включены в статью, дальнейшие запросы можно направить соответствующему автору/ам.

Конфликты интересов: Авторы заявляют об отсутствии конфликта интересов.

# Рекомендации

- 1. Чжан Т.; Висинтин П.; Олерс, DJ Прочность на сдвиг железобетонных балок со стальными хомутами. Дж. Структ. англ. 2016, 142, 04015135. [CrossRef] 2. Зарарис, П.Д. Разрушение при сдвиговом сжатии железобетонных глубоких балок. Дж. Структ. англ. 2003, 129, 544–553. [Перекрестная ссылка]
- 3. Годат А.; Л'Хади, А.; Чааллал, О.; Нил, К.В. Поведение связи при использовании метода упрочнения на сдвиг стеклопластиковых стержней ЕТS. Дж. Компос. Констр. 2012, 16, 529-539. [Перекрестная ссылка]
- 4. Азам Р.; Судки, К.; Уэст, Дж.С.; Ноэль, М. Поведение железобетонных балок, критических к сдвигу, усиленных с помощью CFRCM. Дж. Компос. Констр. 2018, 22, 04017046. [CrossRef]
- 5. Караяннис, К.Г.; Сиркелис, Г.М. Усиление и восстановление соединений железобетонной балки и колонны с использованием оболочки из углеродного стеклопластика и Инъекция эпоксидной смолы. Земляк. Английская структура. Дин. 2008, 37, 769–790. [Перекрестная ссылка]
- 6. Караяннис, К.Г.; Наум, МС Крутильное поведение многоэтажных железобетонных каркасных конструкций вследствие асимметричного сейсмического взаимодействия. англ. Структура. 2018, 163, 93–111. [Перекрестная ссылка]
- 7. Цонос А.Г. Эффективность углепластиковых оболочек при реконструкции балочно-колонн после землетрясения и перед землетрясением. Структура. англ. Мех. 2007, 27, 393–408. [Перекрестная ссылка]
- 8. Лампропулос, А.П.; Дритсос, С.Э. Моделирование железобетонных колонн, усиленных железобетонными оболочками. Earthq Engng Struct Dyn 2011, 40, 1689–1705.
- 9. Ма, К.-К.; Апанди, Нью-Мексико; Софри, СЅҮ; Нг, Дж. Х.; Ло, WH; Аванг, Аризона; Омар, В. Ремонт и восстановление бетонных конструкций с использованием изоляции: обзор. Констр. Строить. Матер. 2017. 133. 502-515. [Перекрестная ссылка]
- 10. Азам Р.; Судки, К.; Уэст, Дж.С.; Ноэль, М. Усиление железобетонных балок, критических к сдвигу: альтернатива листам из углепластика, соединенным снаружи. Констр. Строить. Матер. 2017, 151, 494–503. [Перекрестная ссылка]
- 11. Феррейра, Д.; Оллер, Э.; Мари, А.; Байран, Дж. Численный анализ железобетонных балок, критических при сдвиге, усиленных при сдвиге листами FRP. Дж. Компос. Констр. 2013. 17. 04013016. [CrossRef]
- 12. Баджо, Д.; Судки, К.; Ноэль, М. Укрепление железобетонных балок, критических к сдвигу, с помощью различных систем FRP. Констр. Строить. Матер. 2014, 66, 634–644. [Перекрестная ссылка]
- 13. Агилар, В. Прочность бетонных элементов на сдвиг: проблемы, последние события и возможности. Адв. Гражданский. англ. Технол. 2020,
  - 4. 1–2. [Перекрестная ссылка]
- 14. Исик, Э.; Улуташс, Х.; Харирчян Э.; Авсил, Ф.; Аксойлу, Ч.; Арслан М.Х. Функциональная оценка железобетонных зданий с короткими колоннами в связи с различными принципами проектирования. Здания 2023, 13, 750. [CrossRef]

- 15. Пан З.; Ли, Б. Оценка методологий расчета прочности на сдвиг тонких железобетонных балок, критических по сдвигу. Дж. Структ. англ. 2013, 139, 619–622. [Перекрестная ссылка]
- 16. Пападопулос, Н.А.; Наум, МС; Сапидис, генеральный директор; Чалиорис, СЕ. Растрескивание и отслоение волокон. Идентификация бетонных глубоких балок, армированных канатами из C-FRP, против сдвига с использованием системы мониторинга в реальном времени. Полимеры 2023, 15, 473. [CrossRef]

418

- 17. Билотта А.; Черони, Ф.; Ди Людовико, М.; Нигро, Э.; Печче, М.; Манфреди, Г. Бонд. Эффективность систем EBR и NSM FRP для усиления бетонных элементов. Дж. Компос. Констр. 2011,
- 18. Со, С.-Ю.; Фео, Л.; Хуэй, Д. Прочность сцепления стеклопластиковых плит, монтируемых вблизи поверхности, для модернизации бетонных конструкций. Композиции. Структура.
- 19. Бревельери, М.; Априле, А.; Баррос, JAO: Метод усиления поперечного сдвига на сдвиг с использованием стальных и углепластиковых стержней в железобетонных балках с разным процентом существующих хомутов. Композиции. Структура. 2015, 126, 101–113. [Перекрестная ссылка]
- 20. Ли, П.; Ван, Х.; Не, Д.; Ван, Д.; Ван, К. Метод анализа долговременной долговечности подземных железобетонных водопропускных сооружений при совокупных механических и экологических нагрузках. Дж. Интелл. Констр. 2023, 1, 9180011.
- 21. Саид, М.; Адам, Массачусетс; Махмуд, А.А.; Шанур А.С. Экспериментальная и аналитическая оценка сдвига бетонных балок, армированных стержнями из полимеров, армированных стекловолокном. Констр. Строить. Матер. 2016, 102, 574–591. [Перекрестная ссылка]
- 22. Наум, М.; Сапидис, Г.; Пападопулос, Н.; Голиас, Э.; Чалиорис, К. Мониторинг состояния конструкций железобетонных соединений балки и колонны с использованием пьезоэлектрических преобразователей. В материалах Международной конференции RILEM по синергии опыта в области устойчивого развития и надежности материалов на основе цемента и бетонных конструкций, Милос, Греция, 14–16 июня 2023 г.; Енджеевска А., Канаварис Ф., Азенья М., Бенбудема Ф., Шликке Д., ред.; Книжная серия РИЛЕМ. Springer Nature: Чам, Швейцария, 2023 г.; Том 43, стр. 945–956. [Перекрестная ссылка]
- 23. Тернер, Л.; Дэвис, В.К. Обычный и железобетон при кручении, с особым упором на железобетонные балки. Сел. англ. Пап. 1934. 1. 165. [CrossRef]
- 24. Халиорис, СЕ; Пападопулос, Н.А.; Сапидис, Г.; Наум, МС; Голиас, Э. Метод мониторинга усиленных соединений балок и колонн на основе ЭМА. В материалах Международной конференции ISCRAM, Омаха, Невада, США, 28–31 мая 2023 г.; стр. 853–873.
- 25. Алам, П.; Мамалис, Д.; Роберт, К.; Флореани, К.; Брэдэй, директор по маркетингу. Усталость пластиков, армированных углеродным волокном обзор. Композиции. Часть Б, англ. 2019, 166, 555–579. [Перекрестная ссылка]
- 26. Чжу, Х.; Абэ, Х.; Хаяши, Д.; Танака, Х. Поведенческие характеристики железобетонных балок с неоднородной коррозией по длине армирование. Дж. Интелл. Констр. 2023, 1, 9180019. [CrossRef]
- 27. Халиорис, К.; Космиду, П.-М.; Пападопулос, Н. Исследование нового метода усиления железобетонных балок глубокого действия с использованием Веревки из углеродного стеклопластика в качестве поперечного усиления. Волокна 2018, 6, 52. [CrossRef]
- 28. Базли, М.; Абольфазли, М. Механические свойства армированных волокном полимеров при повышенных температурах: обзор. Полимеры 2020. 12. 2600. [CrossRef]
- 29. Китинов В.К.; Грибняк В.; Заприс, АГ; Чалиорис, СЕ. Инновационный подход к мониторингу состояния здоровья при диагностике отслоения армированных волокном полимеров посредством испытаний на растяжение и сдвиг. Аналитические и экспериментальные методы в машиностроении и гражданском строительстве; Спрингер: Чам, Швейцария, 2024 г.: Том 28. стр. 228-239. [Перекрестная ссылка]
- 30. Джу, С.; Ли, Д.; Цзя, Дж. Экспериментальное исследование и оценка повреждений нового типа крепления для углеродного волокна. Армированные полимерные сухожилия. Дж. Сив. Структура. Монит здоровья. 2023, 13, 117–132. [Перекрестная ссылка]
- 31. Эль-Сиси, А.А.; Эль-Эмам, Ее Величество; Эль-Холи, АЕ-МИ; Ахмад, СС; Саллам, НМ; Салим, Х.А. Структурное поведение железобетонных балок, содержащих неармированные просверленные отверстия с усилением из углепластика и без него. Полимеры 2022, 14, 2034. [CrossRef]
- 32. Баэна, М.; Джахани, Ю.; Торрес, Л.; Баррис, К.; Перера, Р. Прогнозирование характеристик изгиба и разрыва соединений на концах железобетонных балок, усиленных углеродным FRP, NSM при различных температурах эксплуатации. Полимеры 2023, 15, 851. [CrossRef]
- 33. Перера, Р.; Гил, А.; Торрес, Л.; Баррис, К. Диагностика армирования NSM FRP в бетоне с использованием моделей смешанных эффектов и Подходы EMI. Композиции. Структура. 2021, 273, 114322. [CrossRef]
- 34. Пеллоне, Л.; Чиминелло, М.; Меркурио, У.; Апулео, Г.; Консилио, А. Система мониторинга состояния конструкции для обнаружения дефектов соединительной линии на полномасштабном демонстрационном стенде секции крыла. Прил. Mex. 2024, 5, 36–57. [Перекрестная ссылка]
- 35. Ай, Д.; Мо, Ф.; Ян, Ф.; Чжу, Х. Обнаружение повреждений бетонных конструкций на основе электромеханического импеданса с использованием анализа главных компонентов в сочетании с нейронной сетью. Дж. Интелл. Матер. Сист. Структура. 2022, 33, 2241–2256. [Перекрестная ссылка]
- 36. Ай, Д.; Чжан, Д.; Чжу, Х. Локализация повреждений на конструкции железобетонной плиты с использованием метода электромеханического импеданса и алгоритма вероятностновавшенной визуализации. Констр. Строить. Матер. 2024, 424, 135824. [CrossRef]
- 37. Сапидис, Г.М.; Кансизоглу, И.; Наум, МС; Пападопулос, Н.А.; Чалиорис, СЕ. Подход глубокого обучения для автономной идентификации повреждений при сжатии в фибробетоне с использованием пьезоэлектрических датчиков цирконата и титаната свинца.

  Латчики 2024 24 386 [CrossRef]
- 38. Ван, З.; Чен, Д.; Чжэн, Л.; Хо, Л.; Сонг, Г. Влияние осевой нагрузки на электромеханический импеданс (ЭМП) встроенных устройств. Пьезокерамические преобразователи в сталефибробетоне. Датчики 2018, 18, 1782. [CrossRef]
- 39. Наум, МС; Пападопулос, Н.А.; Воутетаки, Мэн; Чалиорис, СЕ. Мониторинг состояния конструкций фибробетонных призм с полиолефиновыми макроволокнами с использованием сети пьезоэлектрических материалов в условиях различных напряжений, вызванных нагрузкой. Здания 2023, 13, 2465. [CrossRef]

40. Наум, МС; Сапидис, генеральный директор; Пападопулос, Н.А.; Воутетаки, М.Э. Применение электромеханического импеданса для мониторинга в реальном времени изгибных напряжений и повреждений, вызванных нагрузкой, в фибробетоне. Волокна 2023, 11, 34.

[Перекрестная ссылка]

- 41. Хатир А.; Капосукка, Р.; Катир, С.; Маганьини, Э.; Бенаисса, Б.; Куонг-Ле, Т. Эффективное улучшенное повышение градиента деформации прогноз в усиленной железобетонной балке NSM FRP. Передний. Структура. Гражданский. англ. 2024, в печати.
- 42. Редди, ПН; Кавятея, Б.В.; Джиндал, Б.Б. Методы мониторинга состояния конструкций, дисперсия волокон, микро- и макроструктурные свойства, измерения и механические свойства самочувствительного бетона обзор. Структура. Конкр. 2021, 22, 793–805. [Перекрестная ссылка]

419

- 43. Перера, Р.; Уэрта, МС; Баэна, М.; Баррис, К. Анализ железобетонных балок, усиленных стеклопластиком, с использованием метода электромеханического импеданса и системы корреляции цифровых изображений. Датчики 2023. 23. 8933. [CrossRef]
- 44. Ли, Д.; Чжоу, Дж.; Оу, Дж. Повреждения, неразрушающая оценка и восстановление конструкции из стеклопластика и железобетона: обзор. Констр. Строить. Матер. 2021. 271. 121551. [CrossRef]
- 45. Хатир А.; Капосукка, Р.; Хатир, С.; Маганьини, Э.; Бенаисса, Б.; Ле Тхань, К.; Вахаб, Массачусетс Новый гибрид ПСО-ЮКИ для двойни идентификация трещин в консольной балке из углепластика. Композиции. Структура. 2023, 311, 116803. [CrossRef]
- 46. Провидакис, К.; Цистракис, С.; Воутетаки, М.; Цомпанакис, Дж.; Ставрулаки, М.; Агадакос, Дж.; Кампианакис, Э.; Пентес, Г.; Лиаракос, Э. Инновационная активная сенсорная платформа для беспроводного мониторинга повреждений бетонных конструкций. Курс. Умный Мэтр. 2016, 1, 49–62. [Перекрестная ссылка]
- 47. Мофиди, А.; Чааллал, О.; Бенмокрейн, Б.; Нил, К. Экспериментальные испытания и модель расчета железобетонных балок, усиленных на сдвиг Использование метода встроенного сквозного FRP. Дж. Компос. Констр. 2012, 16, 540–550. [Перекрестная ссылка]
- 48. АСІ (Американский институт бетона). Руководство по проектированию и строительству систем FRP с внешним соединением для укрепления бетона Структуры; АЦИ-440.2P-08; Американский институт бетона (АСІ): Фармингтон-Хиллз, Мичиган, США, 2008 г.; п. 76.

Отказ от ответственности/Примечание издателя: Заявления, мнения и данные, содержащиеся во всех публикациях, принадлежат исключительно отдельному автору(ам) и соавторам(ам), а не MDPI и/или редактору(ам). MDPI и/или редактору(ы) не несут ответственности за любой вред людям или имуществу, возникший в результате любых идей, методов, инструкций или продуктов, упомянутых в контенте.